
濃淡画像処理: 鮮鋭化

画像の鮮鋭化

- 物体の輪郭などがぼやけた画像に対しては、濃度値の変化を強調することで鮮明な画像が得られる



(a) 原画像

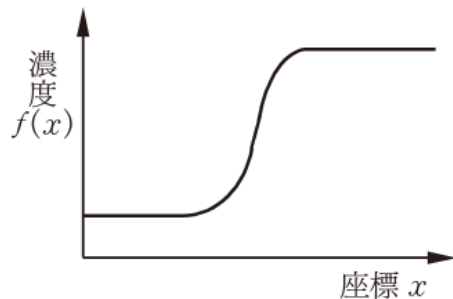


(b) 鮮鋭化フィルタによる処理画像
(8近傍鮮鋭化フィルタ)

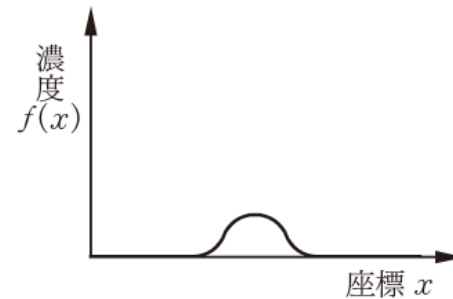
図 5.12 画像の鮮鋭化の例

画像の鮮鋭化

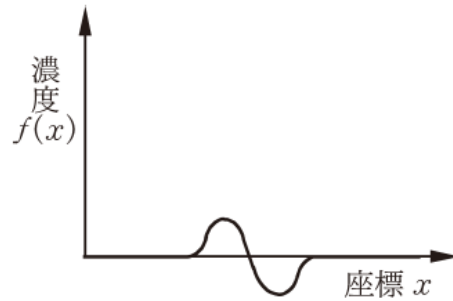
- エッジ部分が強調され、鮮明な画像となる



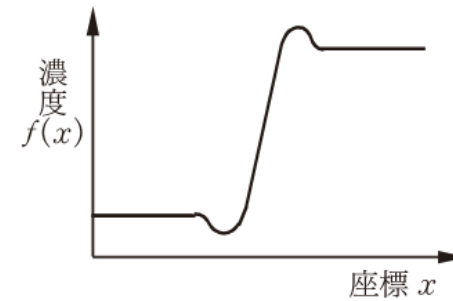
(a) 原画像の濃度変化



(b) 1次微分の結果



(c) 2次微分の結果



(d) (a)-(c)の結果

図 5.9 2次微分を用いた鮮鋭化

鮮鋭化フィルタ

- 鮮鋭化フィルタは、原画像から2次微分であるラプラシアンフィルタを引くことで導出できる

0	-1	0
-1	5	-1
0	-1	0

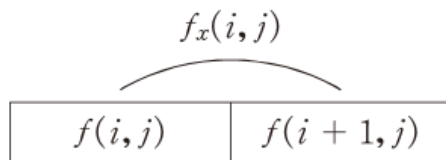
4近傍鮮鋭化フィルタ

-1	-1	-1
-1	9	-1
-1	-1	-1

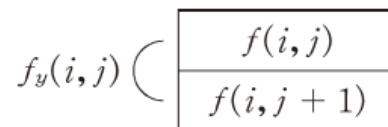
8近傍鮮鋭化フィルタ

4近傍鮮鋭化フィルタの導出

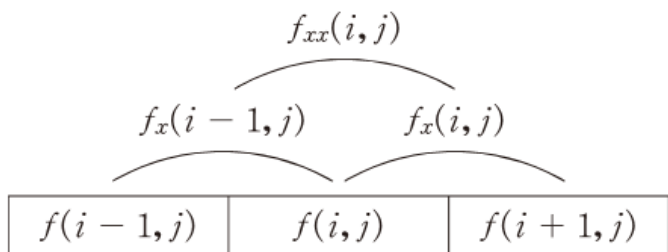
- ディジタル画像においては、微分は差分により代用されるため、まずは2次微分を計算



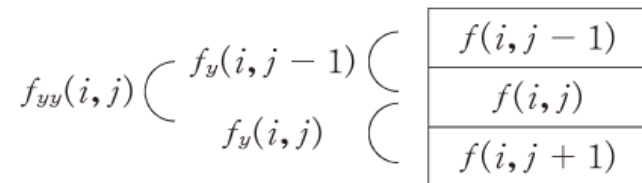
(a) x 方向の差分



(b) y 方向の差分



(c) x 方向の 2 次差分



(d) y 方向の 2 次差分

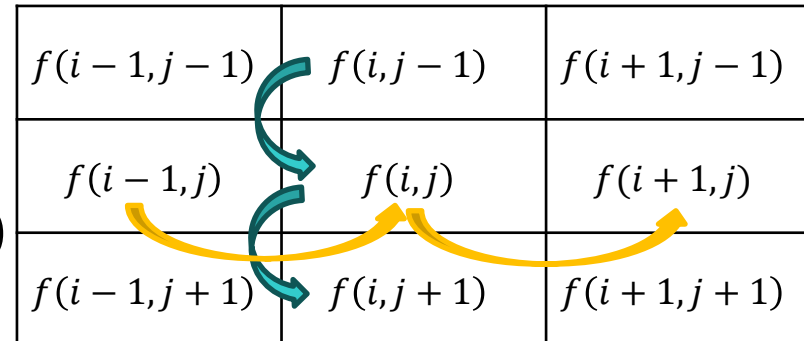
図 5.10 画素の 1 次微分と 2 次微分

4近傍鮮鋭化フィルタの導出

○ 1次微分

$$f_x(i, j) = f(i + 1, j) - f(i, j)$$

$$f_y(i, j) = f(i, j + 1) - f(i, j)$$



○ 2次微分

0	0	0
1	-2	1
0	0	0

$$\begin{aligned}f_{xx}(i, j) &= f_x(i, j) - f_x(i - 1, j) \\&= \{f(i + 1, j) - f(i, j)\} - \{f(i, j) - f(i - 1, j)\} \\&= f(i - 1, j) - 2f(i, j) + f(i + 1, j)\end{aligned}$$

0	1	0
0	-2	0
0	1	0

$$\begin{aligned}f_{yy}(i, j) &= f_y(i, j) - f_y(i, j - 1) \\&= \{f(i, j + 1) - f(i, j)\} - \{f(i, j) - f(i, j - 1)\} \\&= f(i, j - 1) - 2f(i, j) + f(i, j + 1)\end{aligned}$$

4近傍鮮鋭化フィルタの導出

- ラプラシアン $\nabla^2 f(i, j)$ を求める

$$\begin{aligned}\nabla^2 f(i, j) &= f_{xx}(i, j) + f_{yy}(i, j) \\ &= f(i, j - 1) + f(i - 1, j) - 4f(i, j) + f(i + 1, j) + f(i, j + 1)\end{aligned}$$

- 元画像との差分 $f(i, j) - \nabla^2 f(i, j)$ を計算

$$\begin{aligned}g(i, j) &= f(i, j) - \nabla^2 f(i, j) \\ &= -f(i, j - 1) - f(i - 1, j) + 5f(i, j) - f(i + 1, j) - f(i, j + 1)\end{aligned}$$

$$\begin{array}{|c|c|c|} \hline 0 & 0 & 0 \\ \hline 0 & 1 & 0 \\ \hline 0 & 0 & 0 \\ \hline \end{array} \quad - \quad \begin{array}{|c|c|c|} \hline 0 & 1 & 0 \\ \hline 1 & -4 & 1 \\ \hline 0 & 1 & 0 \\ \hline \end{array} \quad = \quad \begin{array}{|c|c|c|} \hline 0 & -1 & 0 \\ \hline -1 & 5 & -1 \\ \hline 0 & -1 & 0 \\ \hline \end{array}$$

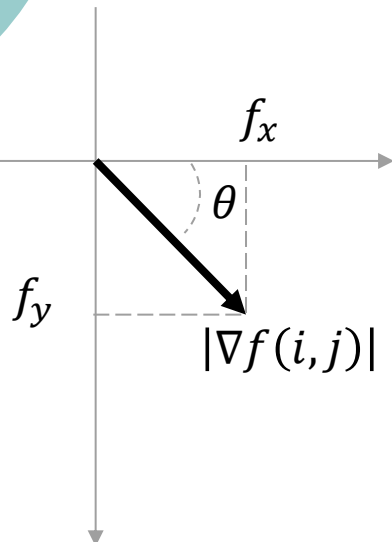
濃淡画像処理: エッジ検出

エッジ検出

- エッジ＝濃淡が急激に変化する場所
- 画像の中に表示される物体の輪郭や線では一般的に濃淡が急激に変化するため、エッジの検出は重要である
- 様々なエッジ検出手法が提案されている
 - Prewitt/Sobelフィルタ
 - ゼロ交差法
 - Cannyのエッジ検出アルゴリズム

差分によるエッジ検出

- 画素間の差分を取りエッジの勾配を計算
- 勾配強度 $|\nabla f(i, j)|$ と 方向 θ を計算してエッジを検出



$$f_x(i, j) = f(i + 1, j) - f(i, j)$$

$$f_y(i, j) = f(i, j + 1) - f(i, j)$$

$$|\nabla f(i, j)| = \sqrt{f_x^2(i, j) + f_y^2(i, j)}$$

$$\theta = \tan^{-1} \frac{f_y}{f_x}$$

-1	1
----	---

x 方向の差分
 $f_x(i, j)$

-1
1

y 方向の差分
 $f_y(i, j)$

エッジ強度計算の高速化

- 平方根計算は時間がかかる場合もあるため、下記の計算で代用されることもある

$$|\nabla f(i, j)| = \sqrt{f_x^2(i, j) + f_y^2(i, j)}$$


$$\left\{ \begin{array}{l} \text{各方向の勾配の絶対値の和を計算} \\ |\nabla f(i, j)| = |f_x(i, j)| + |f_y(i, j)| \\ \\ \text{各方向の勾配の絶対値の大きい値を取る} \\ |\nabla f(i, j)| = \max(|f_x(i, j)|, |f_y(i, j)|) \end{array} \right.$$

Prewittフィルタ

- 差分では、2つの画素の中間の位置の傾きを求めることになる
- 3×3 のフィルタを用いて、注目画素の差分を計算

-1	0	1
-1	0	1
-1	0	1

x 方向の差分 $f_x(i, j)$

-1	-1	-1
0	0	0
1	1	1

y 方向の差分 $f_y(i, j)$

Sobelフィルタ

- 3×3 のフィルタを用いて、注目画素の差分を計算
- Prewittフィルタよりも注目画素に重みをつけて
平滑化しながら差分を計算

-1	0	1
-2	0	2
-1	0	1

x 方向の差分 $f_x(i, j)$

-1	-2	-1
0	0	0
1	2	1

y 方向の差分 $f_y(i, j)$

Sobelフィルタによるエッジ検出

- Sobelフィルタ適用後、強度を計算してエッジ検出



原画像



Sobelフィルタ適用後

ゼロ交差法によるエッジ検出

- 画像の2次微分を行うと、下図のようにエッジの下端と上端で正と負のピークが生じる
- 0となる位置をエッジの中央位置として検出

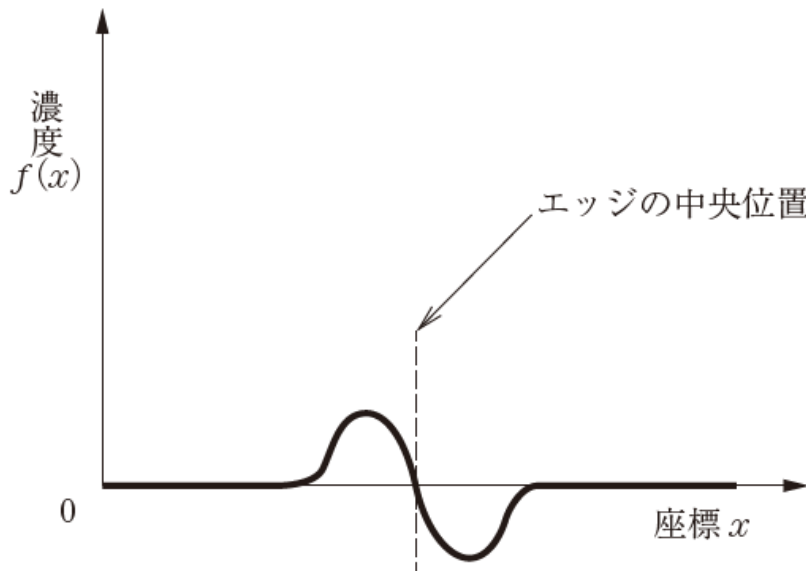


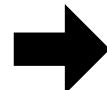
図 5.19 零交差法

ゼロ交差法によるエッジ検出

- ガウシアンフィルタで平滑化した後、ラプラシアンフィルタを適用して2次微分を計算
- ゼロ交差位置を検出

2つのフィルタを1つにまとめる場合もある
LoGフィルタ(Laplacian of Gaussian)
と呼ばれる

$\frac{1}{16}$	$\frac{2}{16}$	$\frac{1}{16}$
$\frac{2}{16}$	$\frac{4}{16}$	$\frac{2}{16}$
$\frac{1}{16}$	$\frac{2}{16}$	$\frac{1}{16}$



0	1	0
1	-4	1
0	1	0

ラプラシアンフィルタ

$f(i+1, j) * f(i-1, j) < 0$ もしくは
 $f(i, j+1) * f(i, j-1) < 0$
あればエッジとして検出

$f(i-1, j-1)$	$f(i, j-1)$	$f(i+1, j-1)$
$f(i-1, j)$	$f(i, j)$	$f(i+1, j)$
$f(i-1, j+1)$	$f(i, j+1)$	$f(i+1, j+1)$

ゼロ交差位置の検出

ガウシアンフィルタ

Cannyのエッジ検出アルゴリズム

- 輪郭線で連続したエッジを検出するための手法として **Cannyのエッジ検出アルゴリズム**が提案されている
- 2つのしきい値を与えてエッジの強度を判定



原画像



輪郭線の検出

画像処理プログラミング3

平滑化・鮮鋭化・エッジ検出

移動平均フィルタによる平滑化

- cv2.blur()で画像に平均値フィルタをかける
- フィルタのサイズに応じてぼやけ方が変化する
cv2.blur(gray_img, (5, 5)) 赤字部分で指定

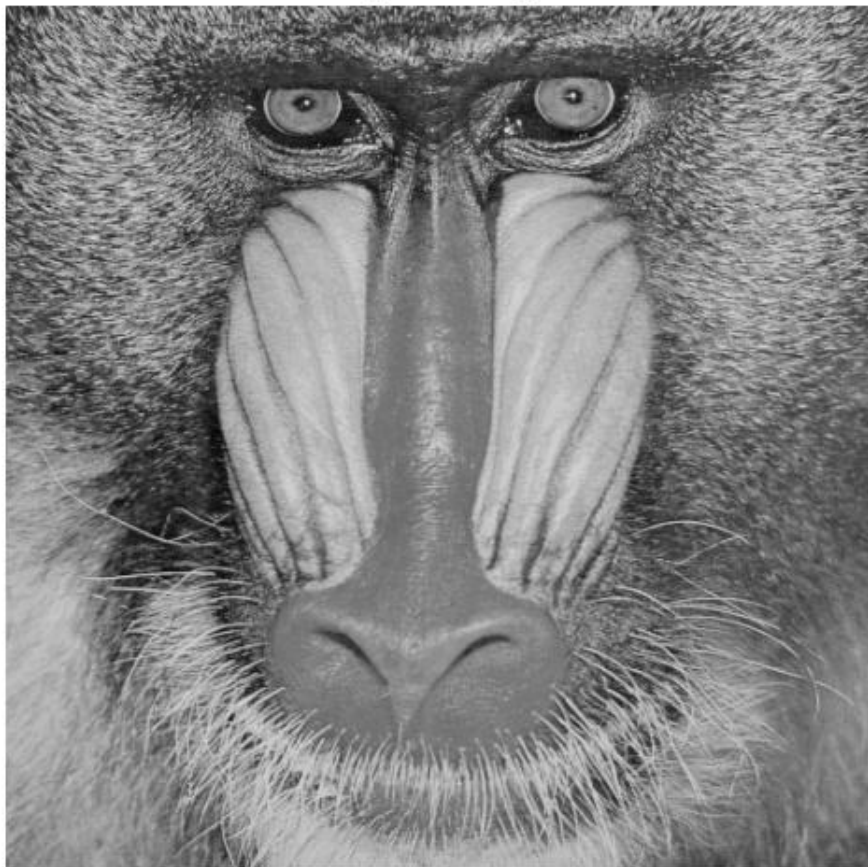
```
#画像の読み込み
gray_img = cv2.imread(common_path + 'gray_image.png',
cv2.IMREAD_GRAYSCALE)

#移動平均フィルタをかける
average_filtered_img = cv2.blur(gray_img, (5, 5))

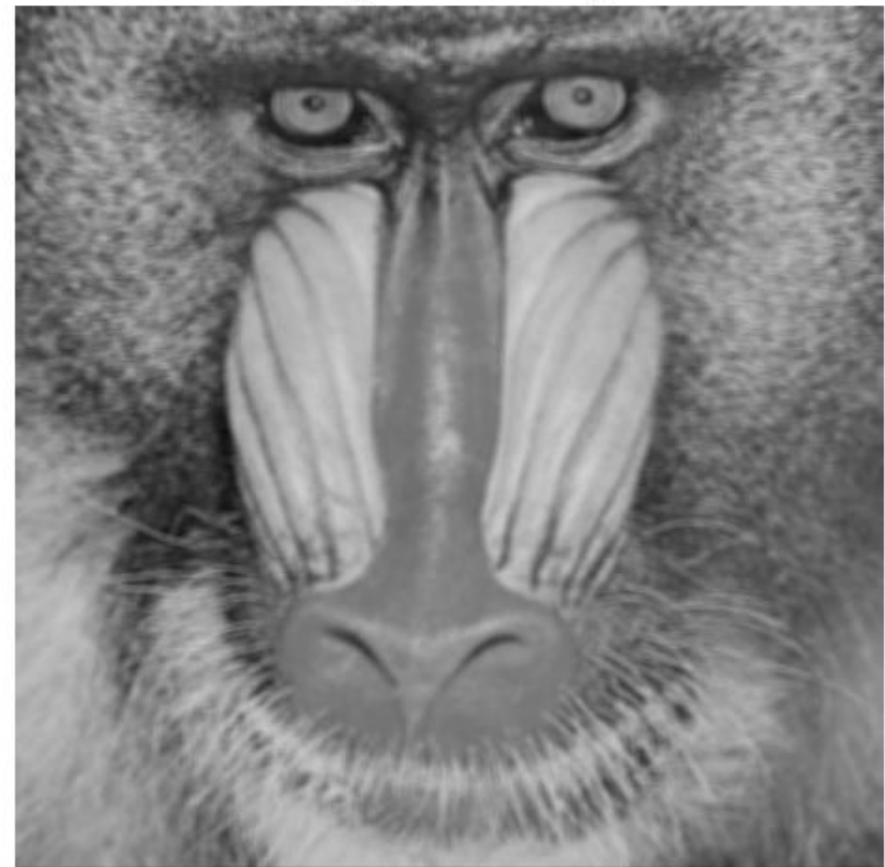
# 実行結果の表示
show_images(gray_img,average_filtered_img, 'Original Image',
'Average Filtered Image')
```

移動平均フィルタによる平滑化

Original Image



Average Filtered Image



ガウシアンフィルタによる平滑化

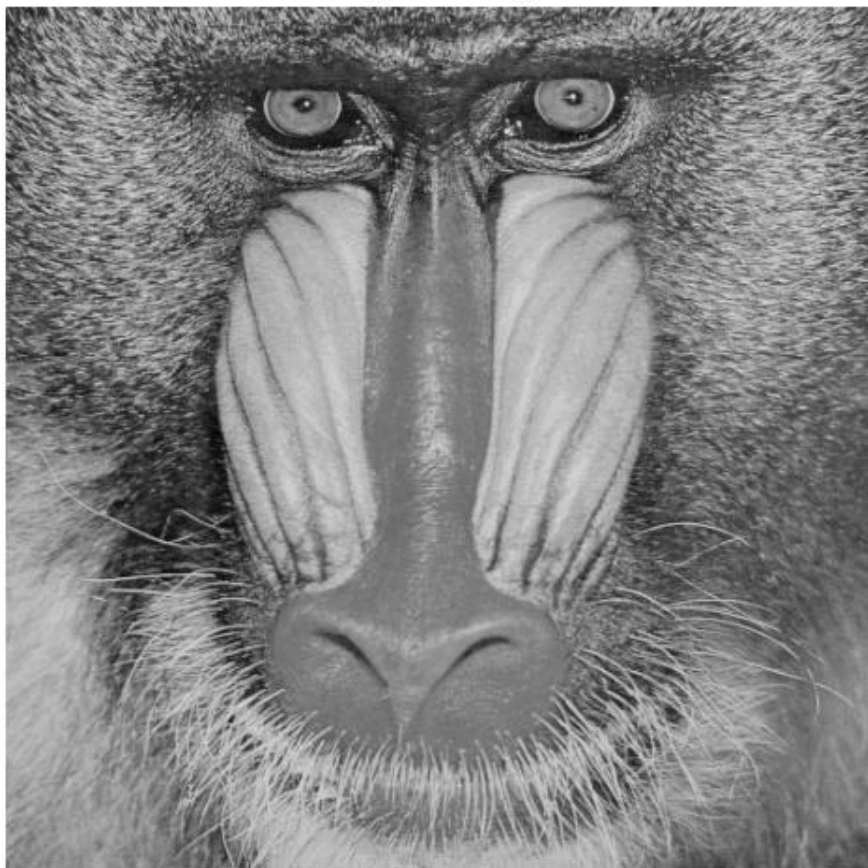
- 以後、グレースケール画像の読み込みは省略
- cv2.GaussianBlur(gray_img, (5, 5), 0)
 - 第1引数: 入力画像データ
 - 第2引数: フィルタサイズ
 - 第3引数: 標準偏差(0にすると自動計算)

```
#ガウシアンフィルタ
gaussian_filtered_img = cv2.GaussianBlur(gray_img, (5, 5), 0)

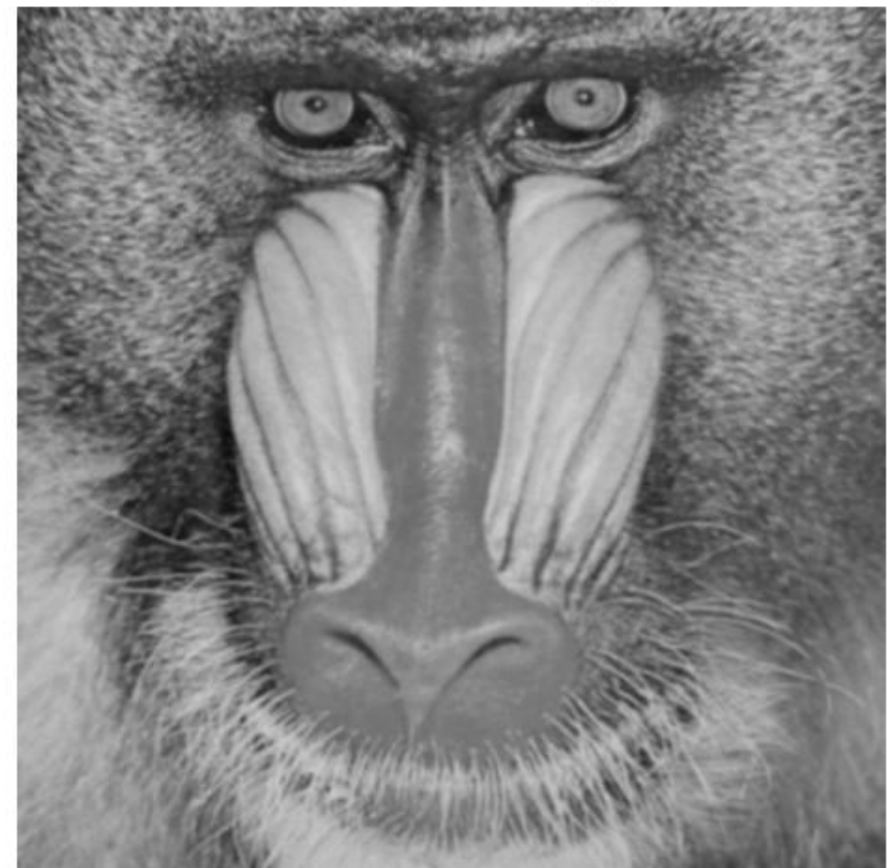
# 実行結果の表示
show_images(gray_img, gaussian_filtered_img, 'Original Image',
'Gaussian Filtered Image')
```

ガウシアンフィルタによる平滑化

Original Image



Gaussian Filtered Image



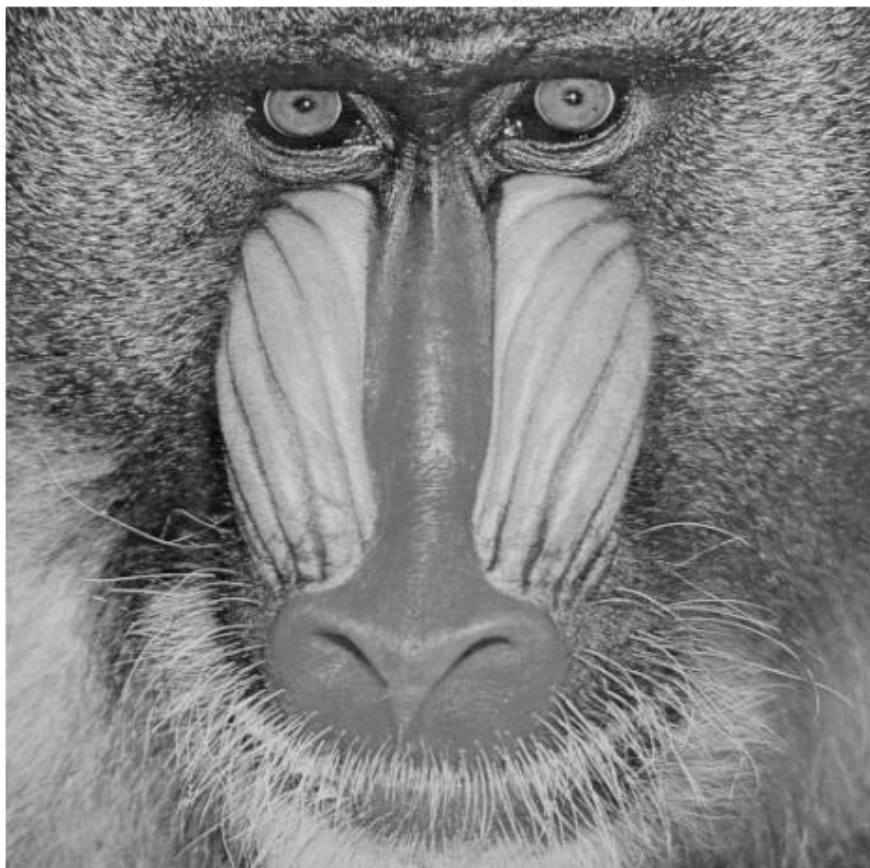
メディアンフィルタによる平滑化

- cv2.medianBlur(gray_img, 5)
 - 第1引数: 入力画像データ
 - 第2引数: フィルタサイズ(1次元表記でOK)

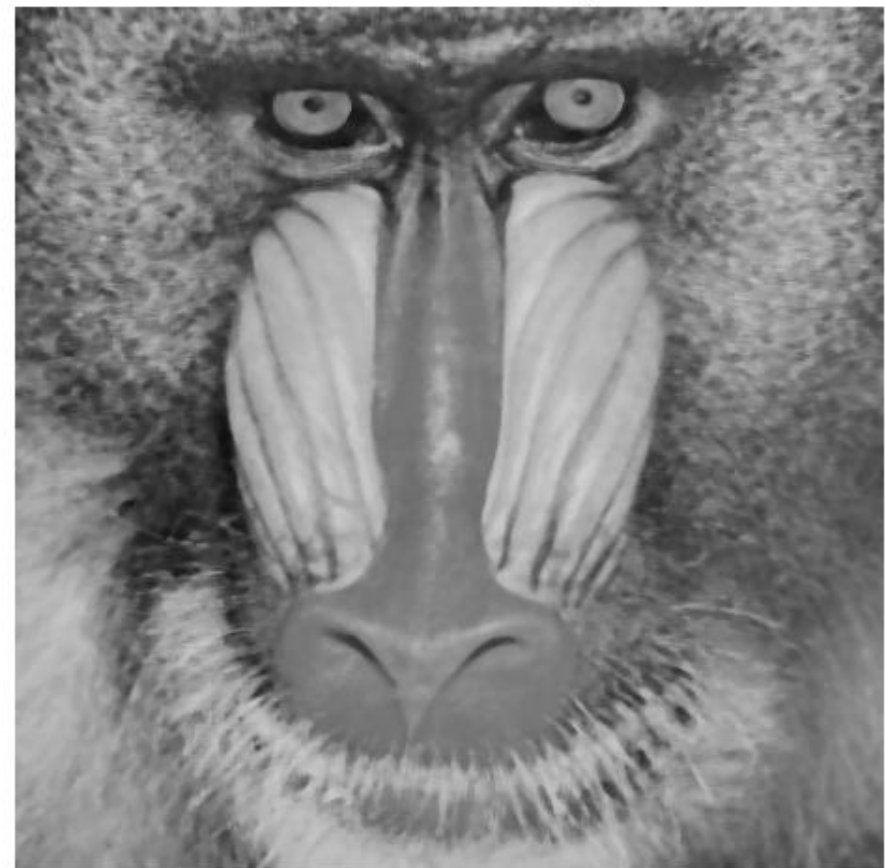
```
# メディアンフィルタの適用  
median_img = cv2.medianBlur(gray_img, 5)  
  
# 実行結果の表示  
show_images(gray_img, median_img, 'Original Image', 'Median  
Filtered Image')
```

メディアンフィルタによる平滑化

Original Image



Median Filtered Image



4近傍鮮鋭化フィルタの適用

- cv2.filter2D(gray_img, -1, kernel)
 - 第1引数: 入力画像データ
 - 第2引数: 出力画像のデータ型(今回は-1でOK)
 - 第3引数: 入力画像に適用するフィルタ行列

```
# 4近傍鮮鋭化フィルタの作成
kernel = np.array([[ 0, -1,  0],[-1,  5, -1],[ 0, -1,  0]])

# 鮮鋭化フィルタの適用
sharpened_img = cv2.filter2D(gray_img, -1, kernel)

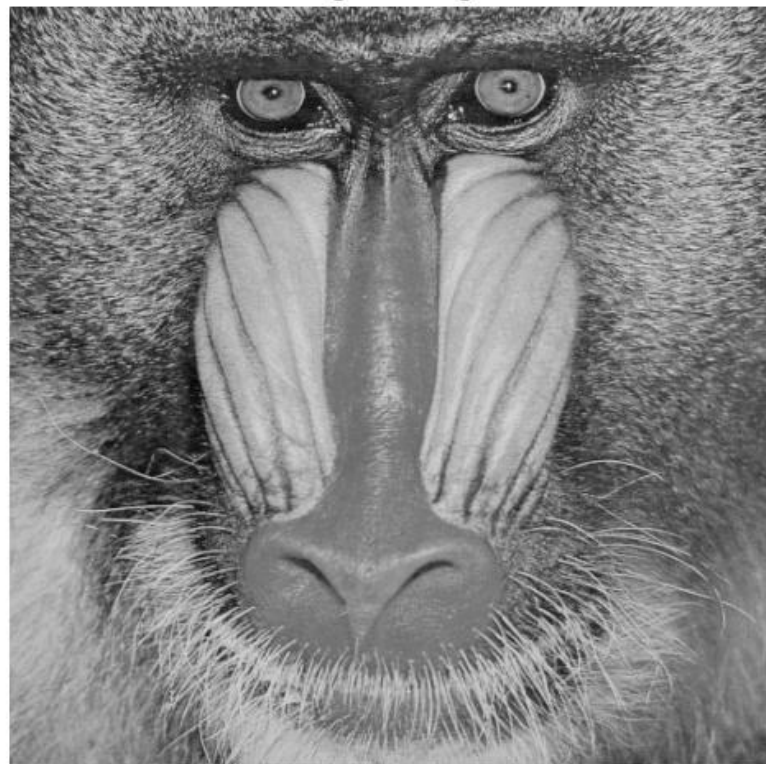
# 実行結果の表示
show_images(gray_img,sharpened_img, 'Original Image',
'Sharpened Image')
```

0	-1	0
-1	5	-1
0	-1	0

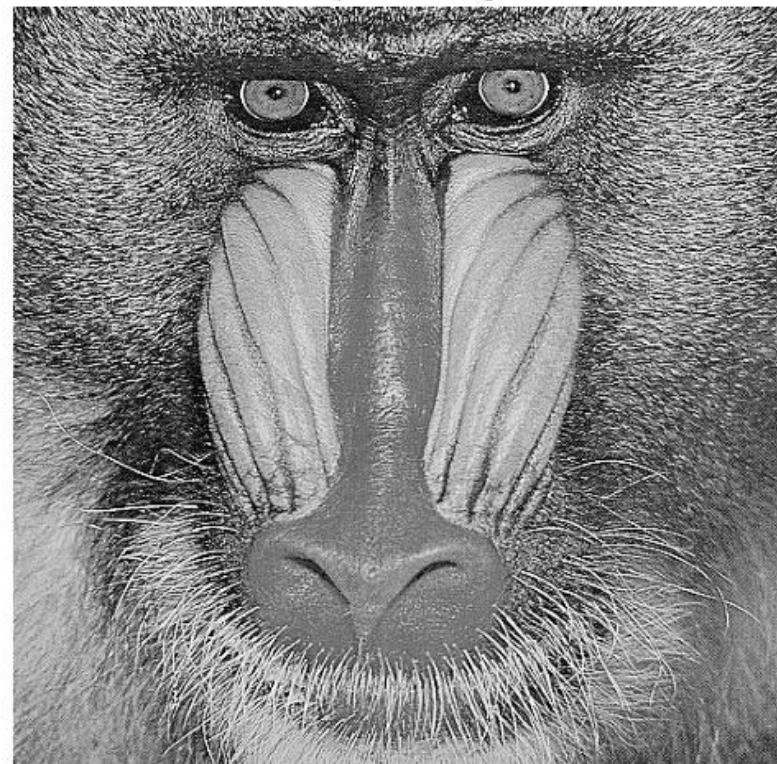
4近傍鮮鋭化フィルタ

- ひげなどのエッジが強調され、より鮮明な画像となっている

Original Image



Sharpened Image



Sobelフィルタによるエッジ検出

- Sobelフィルタで縦横方向のエッジを検出し強度計算

```
# Sobelエッジ検出
sobel_x = cv2.Sobel(gray_img, cv2.CV_64F, 1, 0, ksize=3)
sobel_y = cv2.Sobel(gray_img, cv2.CV_64F, 0, 1, ksize=3)

# エッジの強度の計算
sobel_edges = cv2.magnitude(sobel_x, sobel_y)

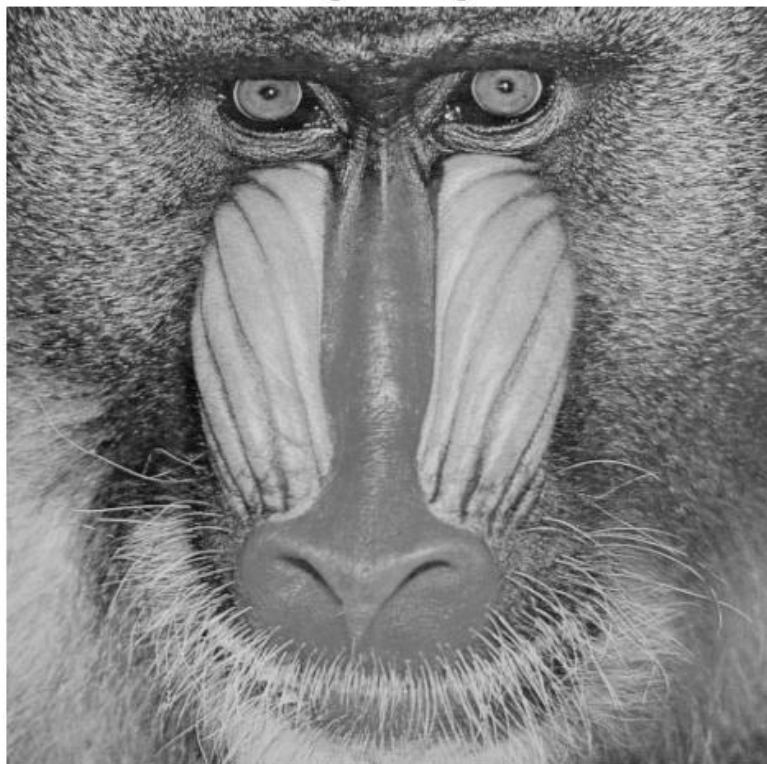
# 256階調となるように正規化
sobel_edges_img = cv2.normalize(sobel_edges, None, 0, 255,
cv2.NORM_MINMAX, cv2.CV_8U)

# 実行結果の表示
show_images(gray_img,sobel_edges_img, 'Original Image','Sobel
Edge Detection')
```

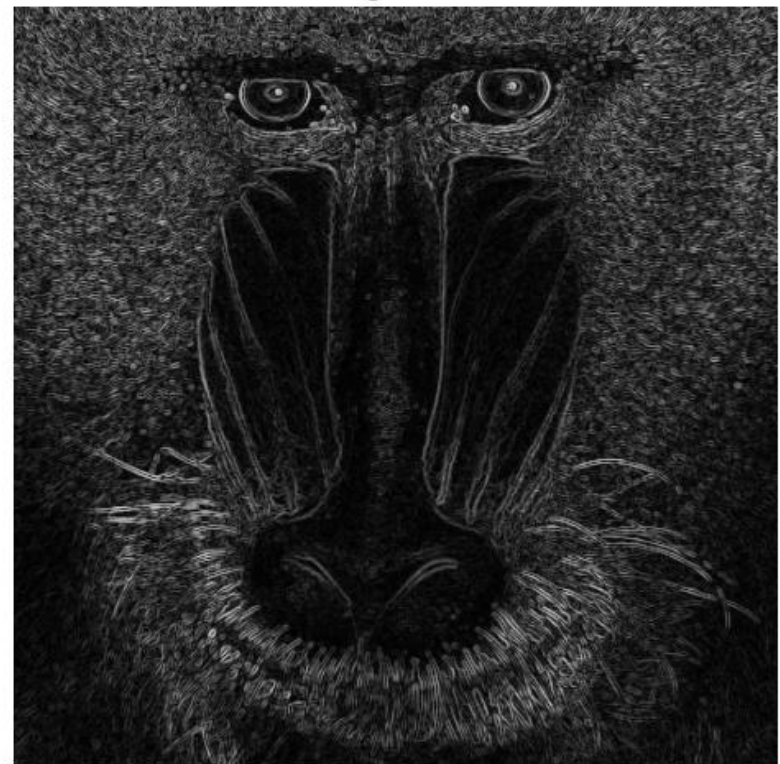
Sobelフィルタによるエッジ検出

- 濃度値が急激に変化する箇所がエッジとして検出される

Original Image



Sobel Edge Detection



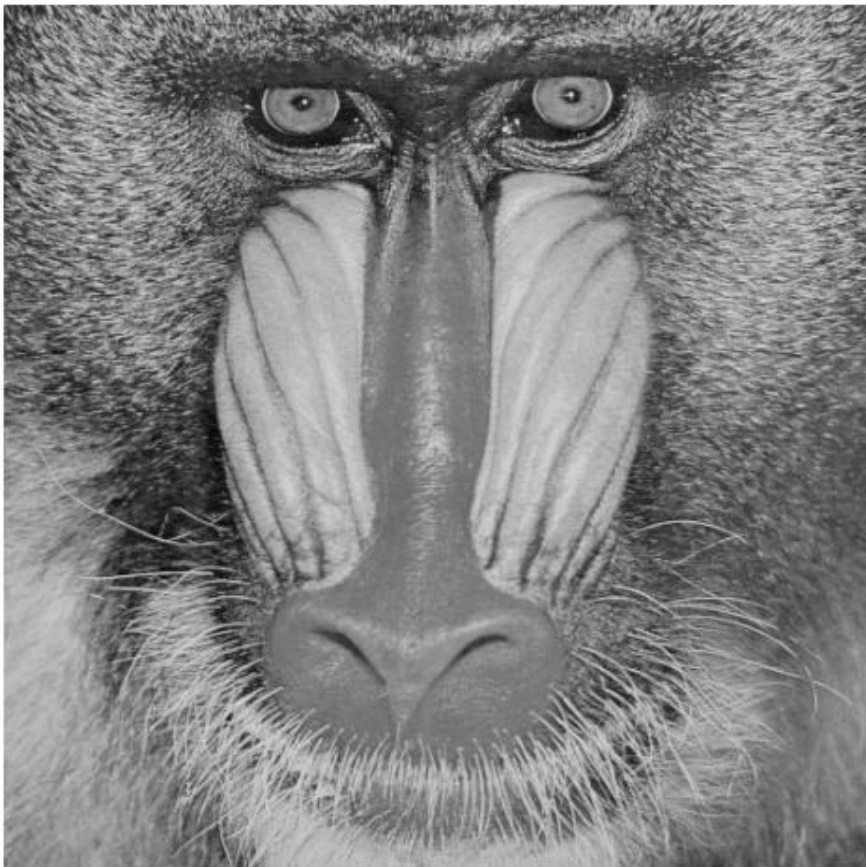
Cannyのエッジ検出アルゴリズム

- Cannyのエッジ検出アルゴリズムを適用
- cv2.Canny(gray_img, 180, 280)
2つのしきい値により検出できるエッジの強度を制御

```
#Cannyアルゴリズムを使用してエッジ検出を行う  
canny_edges_img = cv2.Canny(gray_img, 180, 280)  
  
# 実行結果の表示  
show_images(gray_img,canny_edges_img, 'Original Image',  
'Canny Edge Detection')
```

Cannyのエッジ検出アルゴリズム

Original Image



Canny Edge Detection



しきい値による結果の違い

- 大きい方のしきい値を固定して、小さい方のしきい値を小さくすると、細かいエッジが検出される

(100,280)



(180,280)



(280,280)



(参考)しきい値を変えられるようにする

- 新たにセルを追加し、右端の三点リーダー>フォームを追加をクリック



- 三点リーダー>フォーム>フォームの項目の追加をクリック



(参考)しきい値を変えられるようにする

- スライダーを2つ追加(threshold1, threshold2)

フィールドから編集

フォーム フィールド タイプ
slider

変数名*
threshold1

最小*
0

最大*
360

ステップ*
1

削除 キャンセル 保存



(参考)しきい値を変えられるようにする

- スライダーを2つ追加(threshold1, threshold2)

フィールドから編集

フォーム フィールド タイプ
slider

変数名*
threshold2

最小*
0

最大*
360

ステップ*
1

削除 キャンセル 保存

This screenshot shows the configuration interface for a form field. It includes fields for setting the field type (slider), variable name (threshold2), and defining the range (minimum 0, maximum 360, step 1). The '保存' (Save) button is highlighted with a red box.

(参考)しきい値を変えられるようにする

- 三点リーダー>フォーム>フォーム属性の編集



(参考)しきい値を変えられるようにする

- 下記のプログラムを記入して実行する

しきい値の検討

```
▶ # @title しきい値の検討 {"run":"auto", "vertical-output":true}
threshold1 = 100 # @param {"type":"slider", "min":0, "max":360, "step":1}
threshold2 = 280 # @param {"type":"slider", "min":0, "max":360, "step":1}

#Cannyアルゴリズムを使用してエッジ検出を行う
#threshold1, threshold2をしきい値の引数として設定する
canny_edges = cv2.Canny(gray_img, threshold1, threshold2)

# 実行結果の画像を表示する
plt.figure(figsize=(6, 6))
plt.imshow(canny_edges, cmap='gray', vmin= 0, vmax=255)
plt.axis('off')
plt.show()
```

(参考)しきい値を変えられるようにする

- スライダーでしきい値を変化させると実行結果に反映される

